

دراسة تأثير طريقة الرص على الخصائص الهندسية لترية طينية انتفاخية

علي حسين البياتي إبراهيم محمود الكيكي خولة احمد الجواري انس فخري قاصد
أستاذ مساعد مدرس مساعد مدرس مساعد مدرس مساعد

جامعة الموصل - كلية الهندسة

الخلاصة

يتناول البحث دراسة تأثير طريقي الرص (الساكن والديناميكي) على صائز الهندسية لترية طنبية عالية اللدونة (CH) مختارة من مدينة الموصل.

أظهرت النتائج أن وحدة الوزن الجاف للتربة بطريقة الرص الساكن أكبر منها للرص الديناميكي، في حين وجد العكس بالنسبة للرطوبة المثلثي. إن قيم كل من قوة الانضغاط غير لمحصور، معاملات قوة قص التربة الفعالة (ϕ_u ، ϕ_c)، قوة الشد غير المباشر ونسبة التحمل الكاليفوريوني (CBR) بطريقة الرص الديناميكي ا نه .

نتائج فحص الانتفاخ بينت إن نسب وضغط الانتفاخ للترابة المسبوكة بطريقة الرص الساكن أكبر منه للرص الديناميكي. كما أظهرت نتائج فحص الانضمام إن كل من دليل (c_v) للترابة المسبوكة بطريقة الرص الديناميكي أكبر منه (C_c)

. في حين معامل النفاية بطريقة الرص الديناميكي نه .

من جانب آخر، بينت نتائج فحوصات الفقات والركود والثقب (Pinhole test) إن التاكل الداخلي للترابة المسوكة بالرص الديناميكي أقل منه للترابة المسوكة بالرص الساكن. وجد من طريقة ورق الترشيح ومنحنيات خاصية التربة الماء إن طريقة الرص ليست لها تأثير على اتجاهات مص التربة. أخيراً، تم التوصل إلى أفضل العلاقات الرياضية بين خصائص التربة الهندسية للترابة المسوكة بطريقتي الرص.

الكلمات الدالة: التربة الطينية، بنية التربة، مقاومة القص، التغير الحجمي، الخواص الهيدروليكية

Studying The Influence Of Compacting Method On The Engineering Properties Of Expansive Clayey Soil

Ali H. Al-Bavati

Ibrahim M. Al-Kiki

Khawla A. Al-Juari

Anas F.
Oassid

College of Engineering – University of Mosul

Abstract

This study deals with the effect of two methods of compaction (static compaction (S.C.) and dynamic compaction (D.C.)), on the

engineering properties of high plasticity clayey soil (CH) selected from Mosul city.

Results showed that maximum dry density of soil compacted by static method is higher than that compacted by dynamic method. But the inverse was obtained for optimum moisture content. Unconfined compressive strength, effective shear strength parameters (,), splitting and California Bearing Ratio (CBR) for soil compacted by dynamic method has higher values than that compacted by static method.

Swelling pressure and free swell tests gave higher values under static compaction method. But the values of compression index and coefficient of consolidation using dynamic compaction method gave higher values.

On the other hand, the results of crumb, slackening and pinhole tests showed that the internal erosion of soil compacted by dynamic method are less than that compacted by static method. From filter paper method and soil water characteristic curves showed that compaction methods had no effect on soil suction. Finally, statistical models between engineering properties for soil compacting by two methods were obtained.

قبل في 27/11/2007

استلم في 30/5/2005

عند تصميم وتنفيذ أي مشروع هندي وخاصة في المشاريع الهندسية الكبيرة، أولويات ومتطلبات البدء بتنفيذها هي اعمال التسوية الترابية قطع ، وهذه الاعمال تحتاج الى الرص التي لا يخلو منها أي عمل هندي تقريبا ، لذلك فان اعمال الرص من الامور المهمة والضرورية . طريقة لعب دورا رئيسيا في تحديد خصائص التربة المقام عليها او المؤلف منها المشروع الهندسي كالأبنية والسداد الترابية وغيرها . كما ان الاختيار الصحيح لإحدى الرص دون الطر وحسب طبيعة المشروع الهندسي التي تتطلب خاصية معينة له مردودات ايجابية واقتصادية على طول عمر المنشأ [10] [11].

يعرف الرص بأنه عملية زيادة كثافة التربة وذلك بطرد الهواء من فجواتها بهدف تحسين خصائصها وخاصة ما يتعلق بقدرة التحمل والنفاذية وغيرها. تتم عملية الرص بتسليط اثقال قد تكون ساكنة او متحركة بالإضافة الى الطرق والاهتزاز او العجن، ولا همية الطريقتين الاوليتين فقد تم استخدامهما في البحث. حيث يعتبر الرص الديناميكي من اقدم ويتضمن وضع التربة في قالب اسطواني ومن ثم تعرضها الى عدد معين من طارق خاصة تبعاً لكمية الطاقة المطلوبة في الرص.اما الرص الساكن فيتضمن

عراض التربة الى ضغط ساكن ذو قيمة محددة وهي داخل قالب الرص [9]. ان لطريقة الرص تأثير كبير في تحديد بنية (ترتيب حبيبات التربة) بعد عملية الرص ومن ثم على الخصائص الهندسية للتربة. لذلك أجرى الباحثين دراسات عديدة

لتوضيح تأثير طريقة الرص على خصائص التربة الهندسية، فقد درس Seed and Chain [16] مقارنة تأثير طرائق الرص بالحمل الساكن والصدمي والعجن على خصائص لانتفاخ ومقاومة الانضغاط غير المحصور. Olsen and Attom et al [5] [14] مقارنة تأثير الرص الساكن والديناميكي والعجن على خصائص الانتفاخ Mesri Todd [20] Mitchell [13] بنية التربة تلعب دوراً رئيسياً في تحديد .

الخصائص الهندسية للترابة الطبيعية او الترب الموصوسة في الاعمال الانشائية وخاصة في تحديد كمية المياه المتسربة خلال المنشآت الهيدروليكيه فضلاً عن تحديد اتجاه وحركة المياه الجوفية خلال طبقات التربة.

ان الهدف الرئيس لهذه الدراسة، ايجاد تأثير طريقى الرص الساكن والديناميكى للثانى من اكثرا طرائق الرص شيوعا على الخصائص الهندسية لترابة طينية انتفاحية من مدينة الموصل، حيث درست خواص الرص للترابة، قوة الانضغاط غير المحسور، قوة الشد غير المباشر، نسبة التحمل الكاليفورنى، خصائص الانتفاخ والانضمام للترابة بالإضافة الى الخصائص الهيدروليكيه للترابة وتشمل التسرب النفاذه.

2 - المواد المستخدمة وطرائق العمل

2-1 المواد المستخدمة:

1-1-1 التربة: استخدمت نماذج مشوشة من تربة طينية ومن عمق (1.0 m) سطح الأرض من منطقة اليرموك في مدينة الموصل. (1) يبين الخصائص الدليلية والكميائية لهذه التربة، حيث صنفت على أنها تربة طينية غير عضوية ذات لدونة عالية وتحتوي على نسبة عالية من الغرين (CH). كما إن الكثافة الجافة الموقعة والمحتوى نتائج التحليل المعدنى لهذه التربة مبينة في الشكل (1)، شملت مكونات التربة المعدنية على المعادن الطينية الرئيسية وهي طبقات مختلطات (المونتموريونايت + الكلورايت) والكلورايت فضلاً عن الباليكورسكايت، المعادن الطينية الثانوية تتكون من الايلايت والكاولينايت. أما المعادن غير الطينية شملت الكوارتز والكلسيت.

1-2-2 الماء : استخدم في هذه الدراسة وكافة التجارب الماء الاعتيادي باستثناء تجارب الخصائص الدليلية والفحوصات الكيميائية للترابة فقد استخدم الماء المقطر.

2-2 إعداد النماذج للفحص:

تم إعداد برنامج عمل لإجراء الفحوصات المختبرية على نماذج من تربة منطقة اليرموك، حيث جفت التربة لمدة يومين في فرن كهربائي بدرجة حرارة (60°C)، أضيف الماء كنسبة من الوزن الجاف إلى التربة، وضعت في عبوات بلاستيكية وترك لمنطقة 24 ساعة تم إعداد مجموعتين من نماذج التربة، المجموعة ا.

بطريقة الرص الساكن، تتضمن عملية الرص تسلیط ضغط ساكن ذا قيمة محددة من الأعلى [9]. أما المجموعة الثانية سبکت النماذج بطريقة الرص الديناميكي وحسب المواصفة (ASTM D 1557-79).

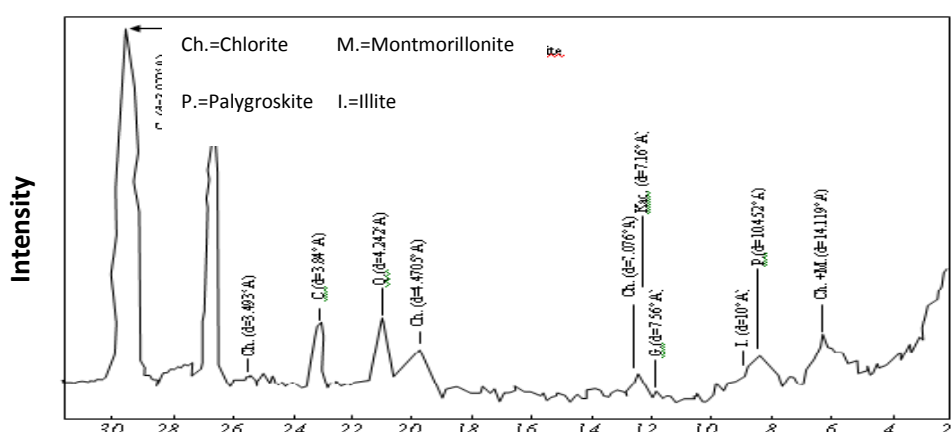
(1) * الخصائص الدليلية للترابة الطبيعية المستخدمة في البحث

51	حد السيولة (L.L) %	
24	% (P.L)	
27	دليل اللدونة (P.I) %	
14.6	% (L.S)	

2.72	(Gs)	
CH	حسب نظام التصنيف الموحد (U.C.S.)	
Group= A-7 Sub Group=A-7-6	تصنيف الجمعية الأمريكية للطرق (AASHTO C.S.)	تصني
3	4.76 < %	التحليل الحبيبي
12	4.76 ≥ % > 0.074	
45	0.074 ≥ % > 0.002	
40	0.002 ≥ % الطين	
0.71	(Activity)	الكيميائية
1.3	%	
1.46	نسبة المواد العضوية %	
0.3	املاح الكبريتات % (SO_3)	
2.25	الاملاح الذائبة الكلية % (T.S.S)	
8.54	الرقم الهيدروجيني (pH -value)	
28	(C.E.C) (meq/100 mg of soil)	

وهذا لبقة الفحوصات.

• كل نتائج تمثل



الشكل (1) التحليل المعدني للترابة الطبيعية

3- الفحوصات المختبرية:

وصولاً لهدف البحث أجريت العديد من الفحوصات الهندسية، الجدول (2) يبين هذه الفحوصات والمواصفات التي أعتمدت عليها بالإضافة إلى أبعاد النماذج.

تعتبر طريقة ورق الترشيح طريقة غير مباشرة لقياس إجهاد المص الكلي (Total Suction) والمص النسيجي (Matric Suction) على نماذج مسبوكة بطريقي الرص عند وحدة الوزن الجاف (17.1 kN/m^3) ومحتوى رطوبى متغير (%) 8, 11, 13, 15, 17, 19, 23%. حفظت النماذج داخل عبوات زجاجية أغلقت بطريقة محكمة، تركت النماذج لفترة توازن (14) يوماً بدرجة حرارة ($24^\circ\text{C}\pm1$) [12]. استخدم ورق ترشيح الزمنية القليلة لإجراء الفحص (7 أيام على الأقل ASTM D5298-03) بالإضافة إلى إمكانية قياس مدى واسعاً من قيم إجهاد المص (10^6-0) كيلوباسكال.

	(mm)			
200 &2000) (psi	D=152.4 H=203.2	[9]		
(قياسية ومعدل)	D=50 H=100 D=102 H=117 D=152.4 H=114.3	ASTM D 1557- 79	الдинاميكي	طريقة
	D=51 H=102	ASTM D 2166-68	مقاومة الانضغاط غير	
(0.02mm/min.)	60x60x20	ASTM D 3080-72		
	D=63.5 H=101.6	ASTM D4123-28	(Splitting)	غير
	300x50x50	ASTM D 1632-96	(Bending)	

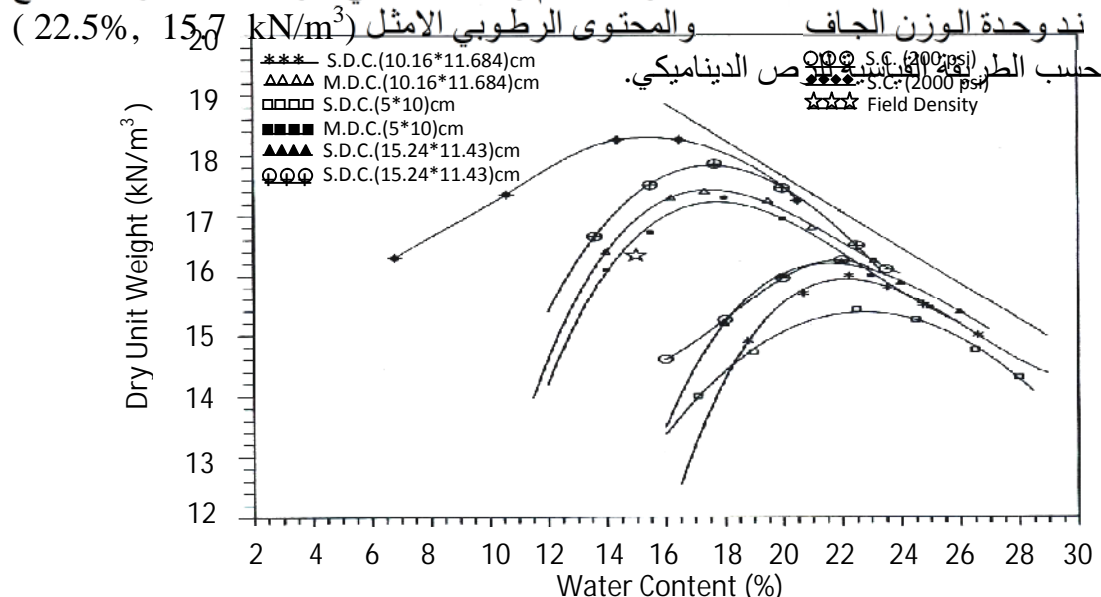
	D=152.4 H=114.3	AASHTO T193-72	نسبة التحمل الكاليفورني (CBR)	
	D=63.5 H=19	ASTM D 2435-80		التغير
		ASTM D 4546-91		
	D=51 H=102	ASTM EM 1110- 2-70		المهيدروليكية
		[15]		
(4mm) (30 min.)	D=106 H=117	(WES) EM 1110- 2-80	(Pinhole)	
الانضمام ايضاً	D=63.5 H=19	Variable head method [9]	النفاذية	
	D=63.5 H=25.4	ASTM D 5298-03	ورق الترشيح	اجهادات
	D=30 H=12	[8]		

(2) الفحوصات المختبرية ومواصفاتها القياسية وابعاد النماذج

3 - النتائج والمناقشة

3-1 تأثير طريقة، طاقة وقطر اسطوانة الرص على خصائص الرص:
 (2) (3) يبيان خصائص رص التربة باستعمال الرص الديناميكي بالطاقة القياسية والمعدلة مع اختلاف حجم الاسطوانة طريقة الرص الساكن. بين النتائج ان وحدة الوزن الجاف بطريقة الرص الساكن كانت اعلى منها طريقة الديناميكي، فإنها تتناسب عكسياً مع وحدة الوزن الجاف. تأثير محدود الاسطوانة بينما العظمي، حيث تزداد بزيادة .[9]

ولدراسة تأثير طريقة الرص على الطينية، سُبّكت مجموعتين من النماذج بطريقي الرص الساكن والدیناميكي عند نفس وحدة الوزن الجاف (18%, 17.1 kN/m³) حسب الطريقة المعدلة للرص الديناميكي لدراسة مقاومة الانضغاط غير المحصور وقوة القص المباشر وقوة الشد غير. أما النفاذية والانضمام والتآكل الداخلي للترابة فقد حضرت النماذج



الشكل (2) العلاقة بين المحتوى الرطوي والكثافة الجافة للترابة الطبيعية (منحنيات الرص)

(3) تأثير طريقة الرص وابعاد اسطوانة

طريقة	(mm)		(%)	(kN/m ³)
	50 x 100		القياسية	15.1 22.5
				16.9 18.0
	() القياسية 102x117		القياسية	15.7 22.5
				17.1 18.0
	152.4x114.3		القياسية	15.9 22.5
				17.5 18.0
	152.4x203.2		200 Psi	16.0 21.5
				18.0 15.0
			2000 Psi	

3-2 تأثير طريقة الرص على بنية التربة:

(3) يوضح صور لنماذج التربة المسبوكة بطريقتي الرص عند نفس الكثافة .
 (4) يمثل صور بالمجهر الضوئي، يتضح إن النماذج المسبوكة ديناميكياً تمتلك فراغات كثيرة ولكنها صغيرة وغير متصلة إضافة إلى طريقة رزم وترتيب الحبيبات بصورة متقاربة نتيجة للجهد المبذول عند الدق. أما النماذج المسبوكة بالحمل الساكن تمتلك هيكل مفتوح (فراغات كبيرة ومتصلة). وهذا يؤكد ما بينه كل من [13] Mitch [16] Seed and chain ان رص التربة بطريقة الحمل الساكن تكون بنية متعامدة، لكن عند رصها بطريقة العجن فإن بنية التربة تكون متوازية وكما مبين في الشكل (5).

3-3 تأثير طريقة الرص على مقاومة التربة:

3-3-1 مقاومة الانضغاط غير المحصور: ان قيم كل من قوة الانضغاط غير المحصور (qu) (Toughness Index (T.I.) [19]) (secant E) دليل الجسائدة

قيمة الانفعال عند الفشل (ϵ_f)، بينت ان لها بطريقة الرص الساكن وكما مبين في الجدول (4) والشكلين (6) (7) سبب ذلك يعود الى بنية التربة، حيث تترتب حبيبات التربة بشكل

(Dispersed) بالرص الديناميكي بينما بالرص الساكن تترتب بشكل متعمد (Flocculated)، هذا ما يجعل عدد مناطق التماس للنماذج المسبوكة بالرص الديناميكي اكبر منها بالرص الساكن مما يؤدي الى زيادة قوى التماسك () بين حبيبات التربة وبالتالي زيادة قوة قص التربة [4].

3-3-2 قوة القص المباشر: معاملات قص التربة الفعالة (زاوية الاحتكاك الداخلي الفعالة (،)) بطريقة صندوق القص، بينت ان **الرص الديناميكي** لها **قوة الشد غير المباشر** بطريقة **الانشطار** بطريقتي الفحص **بطريقة الرص الساكن** وكما مبين في الجدول (4).

3-3-3 قوة الشد غير المباشر: بينت **قوه الشد غير المباشر** (Bending / Flectural test) المسبوكة بطريقة الرص الديناميكي أكبر منها للنماذج المسبوكة بطريقة الرص الساكن، كما مبين في الجدول (4). يعزى ذلك إلى زيادة التداخل بين حبيبات التربة حيث تعمل على زيادة المساحة السطحية المتلامسة للنماذج المسبوكة ديناميكياً مما يزيد من انتشار التربة كما مبين في الشكل (4).

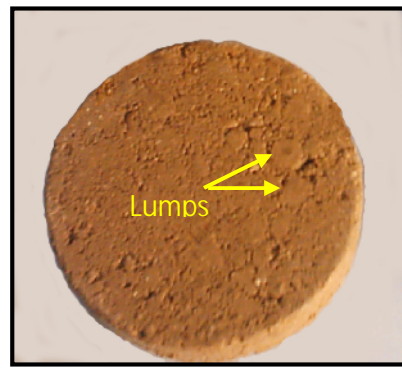
3-3-4 نسبة التحمل الكاليفورني (CBR): يلاحظ من الشكل (9) قيم (CBR) بطريقة تزداد مع زيادة الكثافة الجافة والمحتوى الرطوبى للتربة الى ان تصل الى اعلى قيمة عند وحدة الوزن الجاف والمحتوى الرطوبى الامثل، ثم تنخفض في الجانب الرطب من منحنيات الرص. كما يتضح ان قيم (CBR) للنماذج المسبوكة بطريقة الديناميكي لها للنماذج المسبوكة بطريقة الرص الساكن وان اكبر زيادة كانت عند وكما مبين في الجدول (4)، وهذا يدل على ان بنية التربة لها تأثير كبير على نسبة التحمل الكاليفورني. يعود إلى طريقة ترتيب وتراصف حبيبات التربة مما قلل من حجم الفراغات وبالتالي أعطت قوة تحمل اكبر مما عليه في طريقة الرص الساكن. يعتقد ضغط ماء المسام في التربة ذات البنية المتوازية اكبر مما هو عليه في التربة ذات البنية المتعامدة [16].

3-4-1 خصائص الانتفاخ للترابة: اجري فحص الانتفاخ الحر وضغط الانتفاخ على نماذج مسبوكة بطريقة الرص عند وحدة الوزن الجاف جهاز فحص الانضمام. وجد أن نسب وضغط الانتفاخ للنماذج المسبوكة بطريقة الرص الديناميكي اقل منه للنماذج المسبوكة بطريقة الرص الساكن، الجدول (4) يوضح ذلك. هذه النتائج مع ما توصل اليه [16] Seed and Chain عند استخدامه لطرائق الرص الساكن

(10) يبين أن نسب الانتفاخ تقل عند زيادة المحتوى الرطوبى الابتدائي، كما يتضح ان الفرق في مقدار الزيادة يقل مع زيادة المحتوى الرطوبى ويتشاشى عند محتوى (22.7%).



(b) نموذج تربة مسبروك ديناميكي

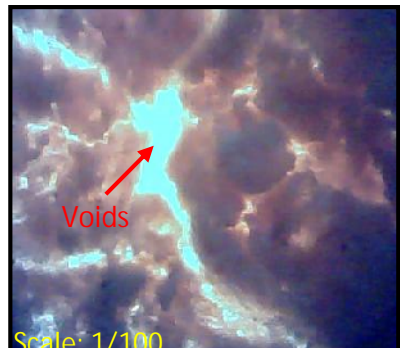


(a) نموذج تربة مسبروك استاتيكي

(3)

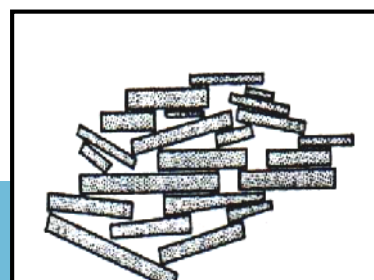


(b) نموذج تربة مسبروك ديناميكي

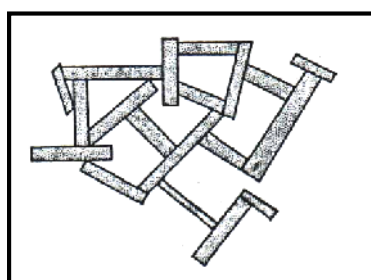


(a) نموذج تربة مسبروك استاتيكي

(4) صور بالمجهر ا



(b) التربة المشتتة Dispersion Soil

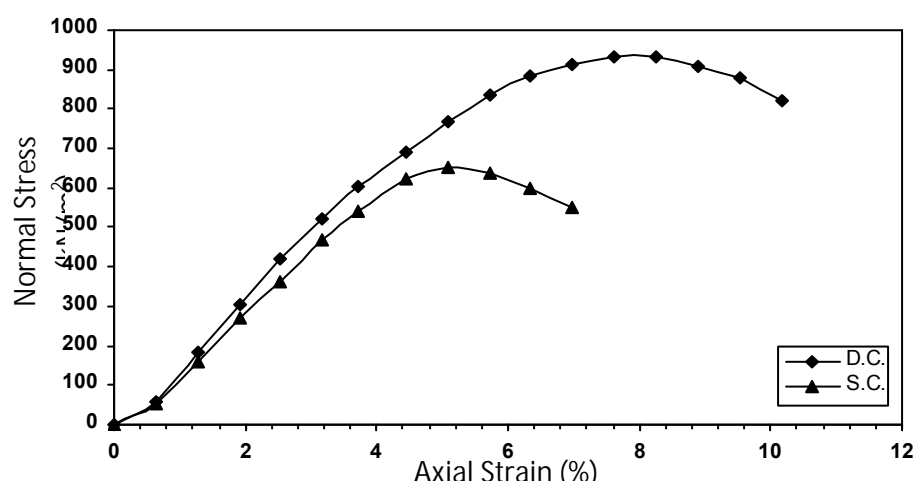


(a) التربة المتبلدة Flocculation Soil

(5) بنية التربة [6]

(4) تأثير طريقة الرص على الخصائص الهندسية للترابة الطينية

الدیناميکي				
930	650	q_u (kN/m^2)		
18×10^5	16×10^5	E (kN/m^2)		
8.0	5.5	ϵ_f (%)		
6.7	4.2	T.I		
49	27.5	(kN/m^2)		
30	23	Degree		
102	76.5	Splitting (kN/m^2)		قوة اللدغ غير
172	144	Bending (kN/m^2)		
4.5	3.2	نسبة التحمل الكاليفورني (CBR) (%)		
3.2	4.10	(%)		
177	211	(kN/m^2)		
1.7×10^{-8}	1.2×10^{-7}	معامل النفاذية k (cm/sec)		

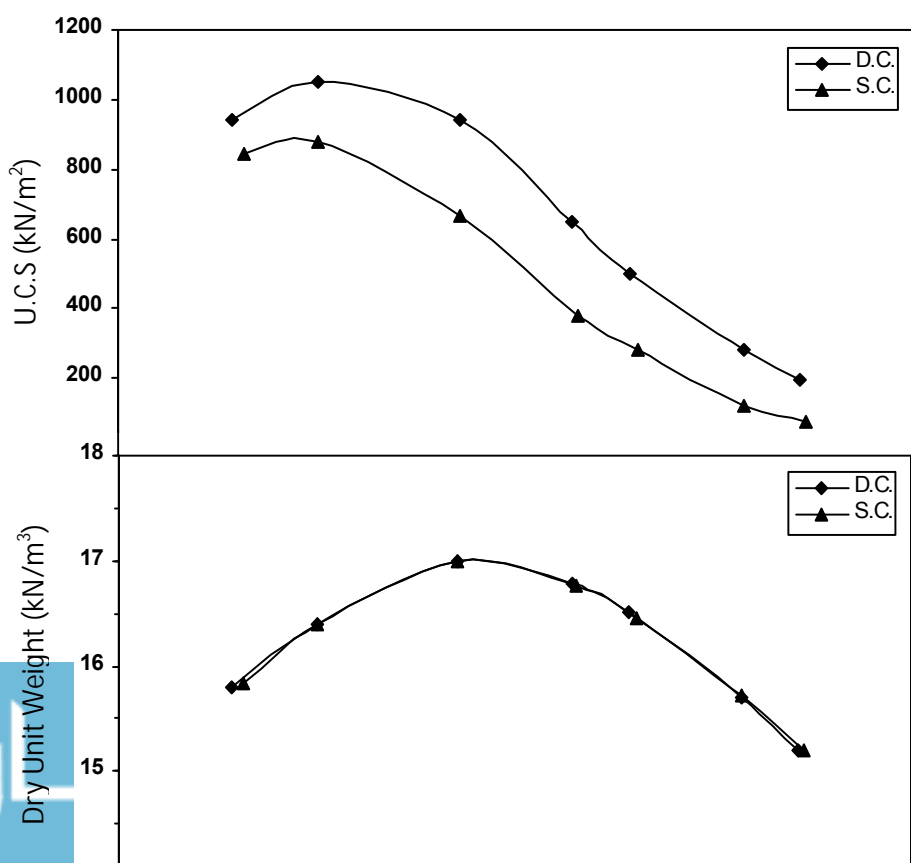


(6) تأثير طريقة الرص على العلاقة بين الاجهاد والانفعال لـ

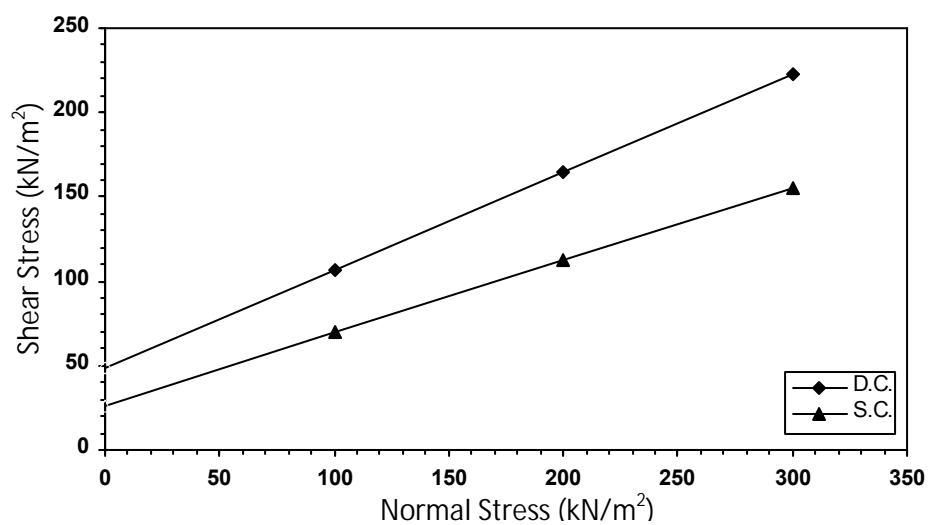
(11) يبين العلاقة بين النسبة بين الانتفاخ عند أي (حيث تمثل النسبة بين الانتفاخ عند أي) ، يلاحظ أن التربة تمر بثلاث مراحل أساسية قبل أن تصل إلى الانتفاخ الكامل، حيث تبدأ بمرحلة الانتفاخ الابتدائي (Initial Swelling)، تليها مرحلة الانتفاخ الرئيسي (Primary Swelling) [1] (Swelling Secondary) .

للنمذج المسبوكة بطريقة الرص الساكن كانت أكبر منها للرص الديناميكي، يتضح أن الفرق في مقدار الزيادة يزداد خلال المرحلتين الأولى والرئيسية ويكون كبيراً نسبياً خاصة عند المرحلة الرئيسية، ثم يقل خلال المرحلة الثانية.

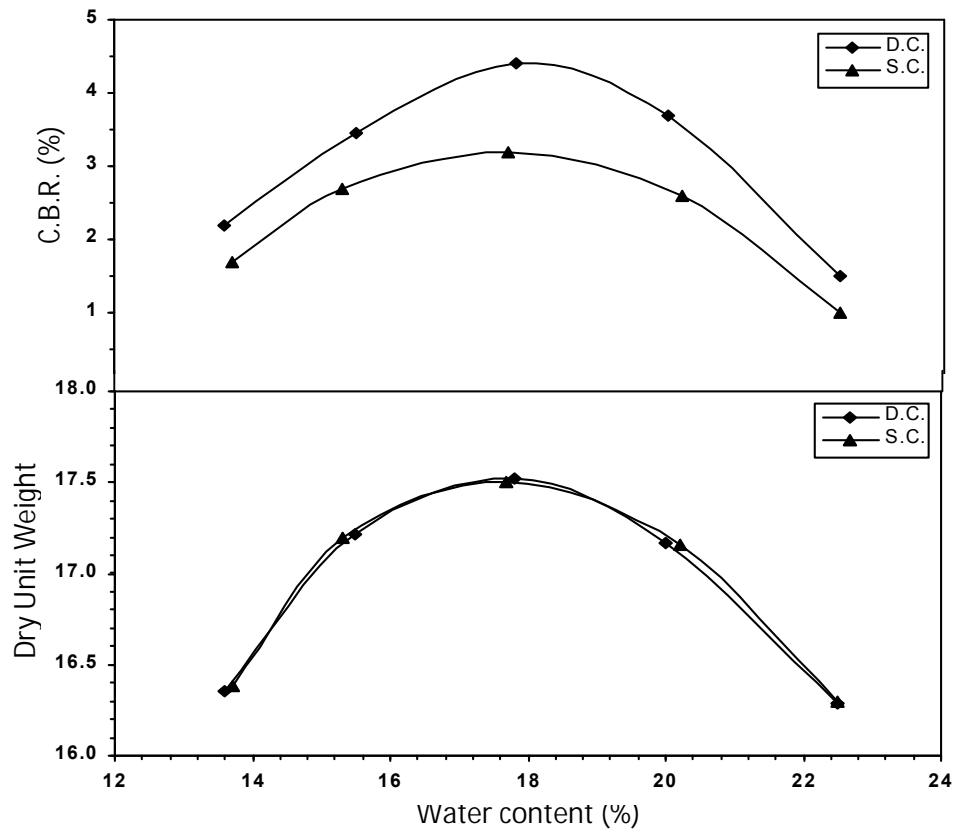
(120) يقة الأولى يتحقق (86%) من الانتفاخ الكلي للنمذج المسبوكة بالرص الساكن والديناميكي على التوالي. أي بما يعادل أكثر من ثلاثة أمثال الانتفاخ بالرص الديناميكي. وعليه فان النمذج المسبوكة ديناميكياً تحتاج إلى وقت أطول للوصول الى نفس درجة انتفاخ وهذا يعزى إلى أن حبيبات التربة المسبوكة بطريقة الرص الساكن تترتب بشكل غير منتظم (مما يجعل لها القابلية على الانتفاخ بكلفة الاتجاهات، على الرغم من إن حجم الفراغات بين حبيبات التربة أكبر مما عليه في حالة الرص الديناميكي كما مبين في (4)، وهذا بدوره يسهل عملية إيصال الماء إلى حبيبات التربة. من خلال هذه الدراسة يتضح ان ترتيب حبيبات التربة لها تأثير كبير على خواص الانتفاخ (الانتفاخ الحر .).



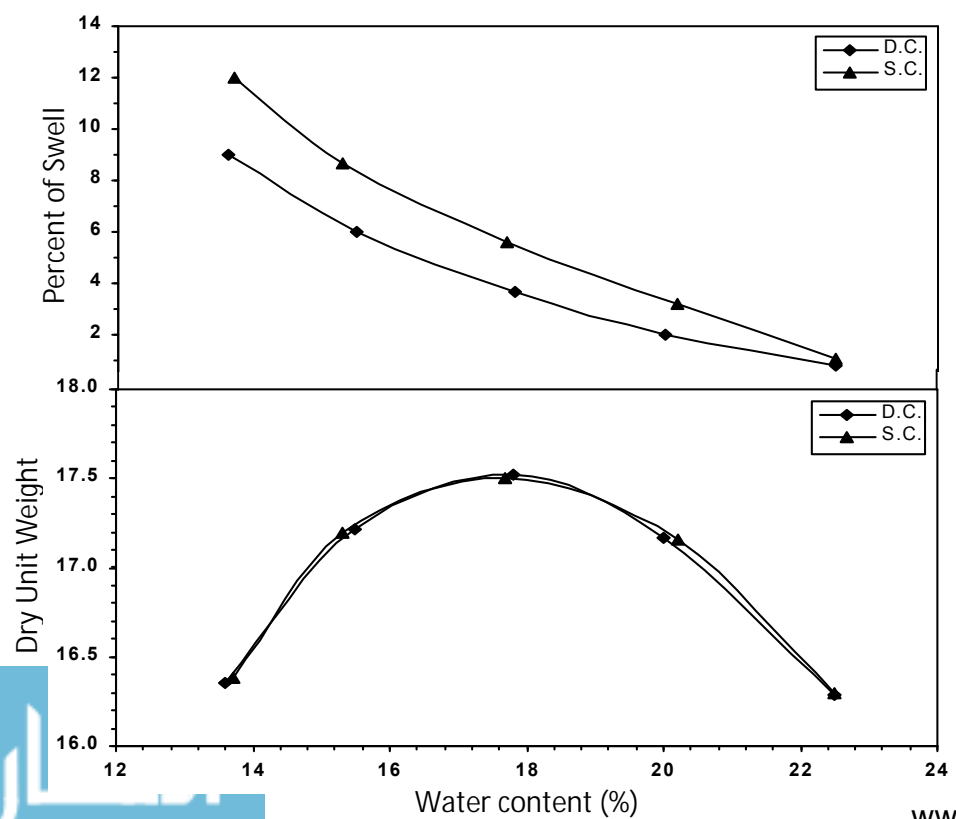
(7) تأثير طريقة الرص على مقاومة الانضغاط غير



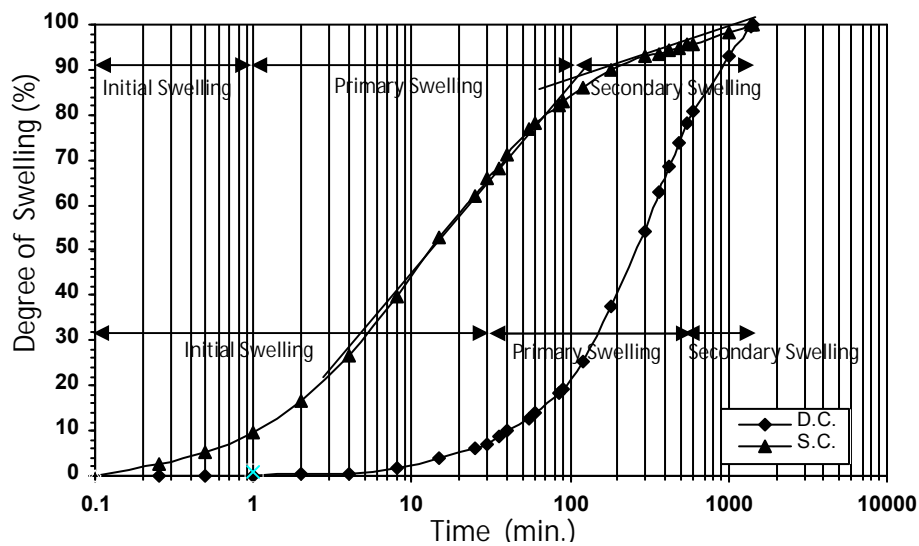
(8) تأثير طريقة الرص على مغلف الفشل ومعاملات قص التربة



(9) تأثير طريقة الرص على نسبة التحمل الكاليفورني للتربة



(10) تأثير طريقة الرص على

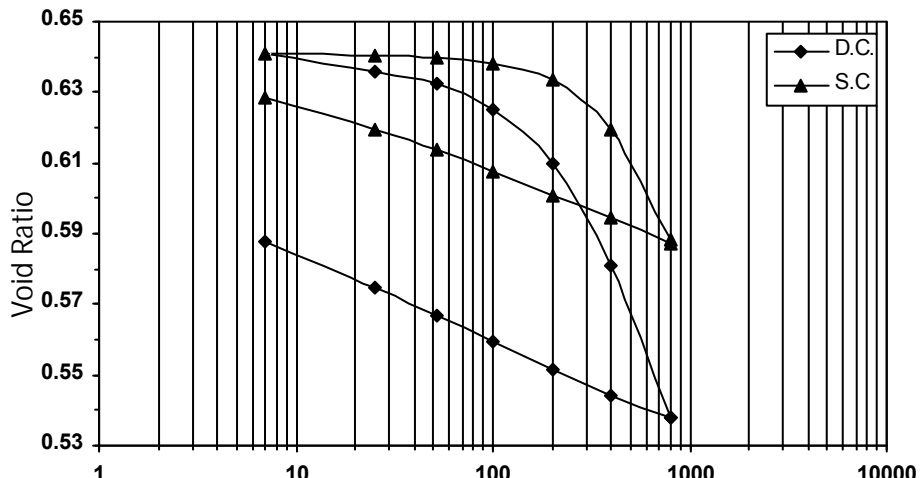


(11) تأثير طريقة الرص على

3-4-2 خصائص الانضمام للتراب: (12) يبين منحني الانضمام لنماذج تربة مسبوكة بطريقة الرص عند وحدة الوزن الجاف والمحتوى الرطوبى الامثل. يلاحظ من الجدول (5) والشكل (12) ان كل مل من دليان دليل الانضغاط كل (2) كيلونيوتن /² (معامل الانضمام c_v) (معدل قيم معامل الانضمام عند الاجهادات 800 400 c_c) و معامل الانضمام (c_c) بطريقة الرص الديناميكي $c_v = \frac{K}{c_s}$ ، يعزى بنية التربة المتوازية بالرص الديناميكي لها قابلية اكبر على الانضغاط تحت تأثير الاحمال من بنية التربة المتعامدة.

(5) تأثير طريقة الرص على خصائص

$K \times 10^{-9}$ (cm/sec)	$c_v \times 10^{-2}$ (cm ² /sec)	c_s	c_c	e_0	طريقة الرص
1.06	0.8	0.024	0.115	0.645	الرص الديناميكي
9.3	0.23	0.031	0.08	0.644	



الشكل (12) تأثير طريقة الرص على منحنى الانضمام للترابة

3-5 تأثير طريقة الرص على الخواص الهيدروليكية للترابة:

3-5-3 التسرب التاكمي في التربة: يعتبر من اهم المشاكل التي تؤدي الى حدوث انهيارات في السدود الترابية. يحصل التسرب التاكمي نتيجة لعدة اسباب منها الانتكال الداخلي (Internal Erosion). بينت الدراسات والابحاث ان سبب حدوث التسرب التاكمي وانهيارات السدود ناجم عن استخدام نوع من التربة، تسمى بالترابة المتفرقة (Dispersive Soil) [17] [18]. تعتبر حبيبات الطين مسؤولة عن ظاهرة تفرق التربة لذا يعرف بالطين المتفرق (Dispersive Clay) [18]. إن لطريقة الرص تأثير كبير على بنية التربة، وعليه فقد تم دراسة تأثير طريقة الرص على التاكمال الداخلي للترابة من خلال اجراء الفحوصات الآتية:

3-1-5-3 فحص الفتات (Crumb Test): غمرت مجموعة من النماذج المسبوكة بطريقتي الرص الساكن والдинاميكي، عند وحدة الوزن الجاف والمحتوى الرطوبى مائلة لطاقة الرص القياسية في الماء المقطر. لوحظ ان الزمن اللازم لانهيار () النماذج المسبوكة بطريقية الرص الساكن اقل بكثير من النماذج المسبوكة بطريقية الرص الديناميكي وان حصول الفشل كان مفاجئاً. حيث كان زمن الفشل الكلى للمجموعة الأولى (1.0-0.5) دقيقة، بينما كان للمجموعة الثانية (5.0-4.0) .

3-1-5-3 فحص الركود (Slackening Test): تم اجراء الفحص حسب الطريقة المقترحة لوحظ أن كلا المجموعتين من النماذج لم (Rahimi) [15] (نهار) كلباً على الرغم من مرور أكثر من سبعة أيام. المسبوكة بطريقية الرص الساكن فقدت حوالي (7-4)% من وزنها، بينما النماذج المسبوكة بالطريقة الديناميكية فقدت حوالي (3-5)% من وزنها.

3-1-5-3 فحص الثقب (Pinhole Test): تم في هذا الفحص استخدام جهاز (pinhole) المصنوع حسب ما جاء في (EM 110-2-1906) (1980) Engineering manual (U.S. Army Engineers Water Ways Experiments Station) والمقترح من قبل

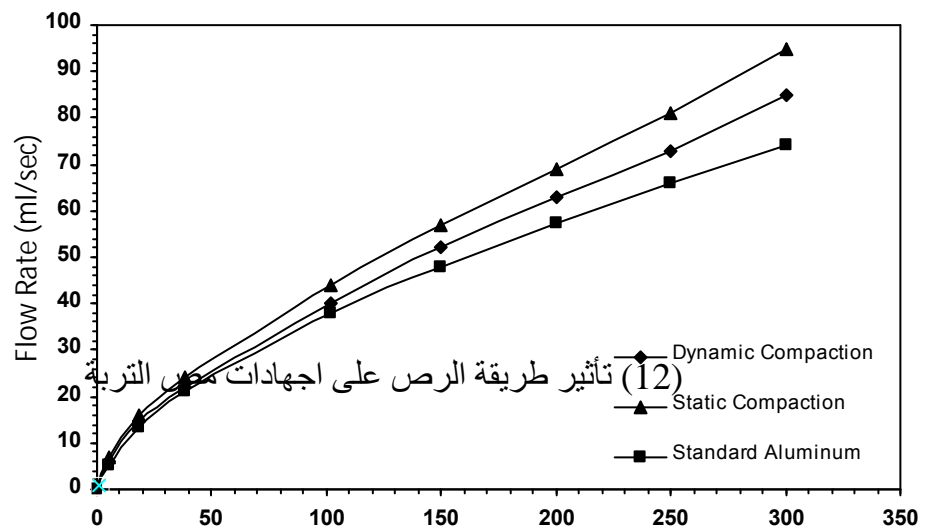
(WES)، اجري الفحص على نماذج من التربة مهيأة بنفس الطريقة المذكورة في الفقرة (3-1-4). يلاحظ من الشكل (13) ان كمية التصريف (CL) يزداد مع زيادة الشحنة للنماذج المسوبوكه بطريقتي الرص. ومن الجدير بالذكر، ان كمية التصريف للنماذج المسوبوكه بالرص الساكن اكبر منها بالرص الديناميكي، كما ان معدل الزيادة في التصريف للنماذج المسوبوكه بالرص الساكن اكبر منه بالرص الديناميكي. إن كمية الانتكال في حالة رص الساكن أكثر من ضعف كميتها في حالة الرص الديناميكي، وهذا يتافق مع ما توصل إليه [7]، عند دراسته لترابة طينية واطئة الدونة (CL).

من نتائج فحوصات الففات والركود والتقب يلاحظ أن الرص الديناميكي يؤدي إلى زيادة مقاومة التربة غير المتفرقة (CL)، غال، وهذا يعود إلى زيادة المساحة المتلامسة بين حبيبات التربة المسوبوكه ديناميكيا مما يؤدي إلى زيادة قوة الربط بين حبيباتها وبالتالي زيادة

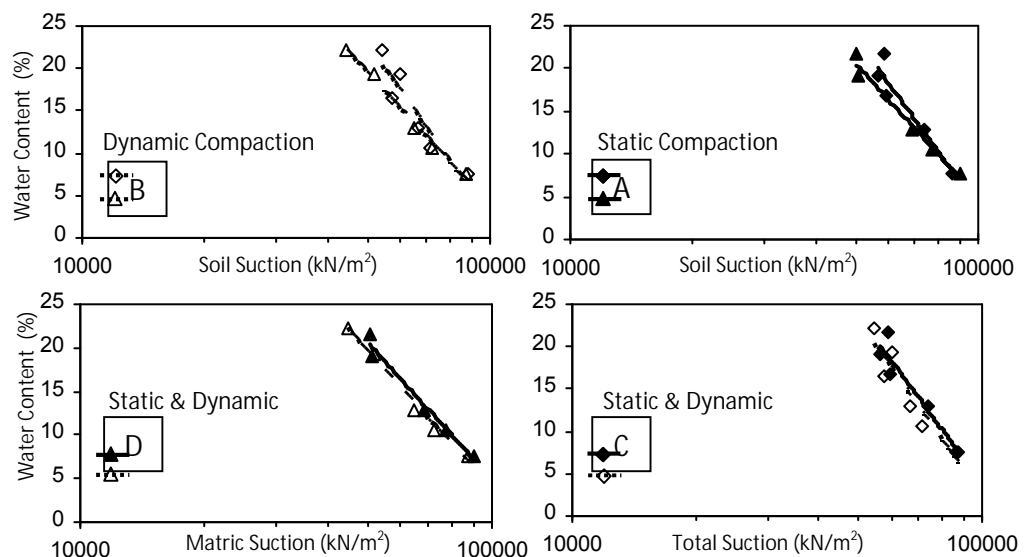
3-5-2 تأثير طريقة الرص على اجهادات مص التربة:

3-2-5-3 طريقة ورق الترشيح: يتضح من الشكل (14) د علاقة خطية تربط بين قيم كل من اجهاد المص الكلي (C) والنسيجي (D) للقيم التي تراوحت بين (10000-100000 كيلونيوتن/²) مع المحتوى الرطوبوي النهائي للتربة بعد الفحص للنماذج المسوبوكه بطريقتي الرص الساكن والديناميكي. حيث تزداد اجهادات المص كلما انخفض المحتوى الرطوبوي للترفة، تبين الاشكال (14-A, B) إن هنالك فرق بين اجهاد المص الكلي والنسيجي، والذي يمثل اجهاد المص التناضحي، يعل الفرق إلى وجود الأملاح الذائبة في التربة. يلاحظ اقتراب قيم المص النسيجي من المص الكلي للتربة وهذا ما يدل على اختفاء المص التناضحي عند القيم العالية من اجهادات المص عند انخفاض المحتوى الرطوبوي للتربة.

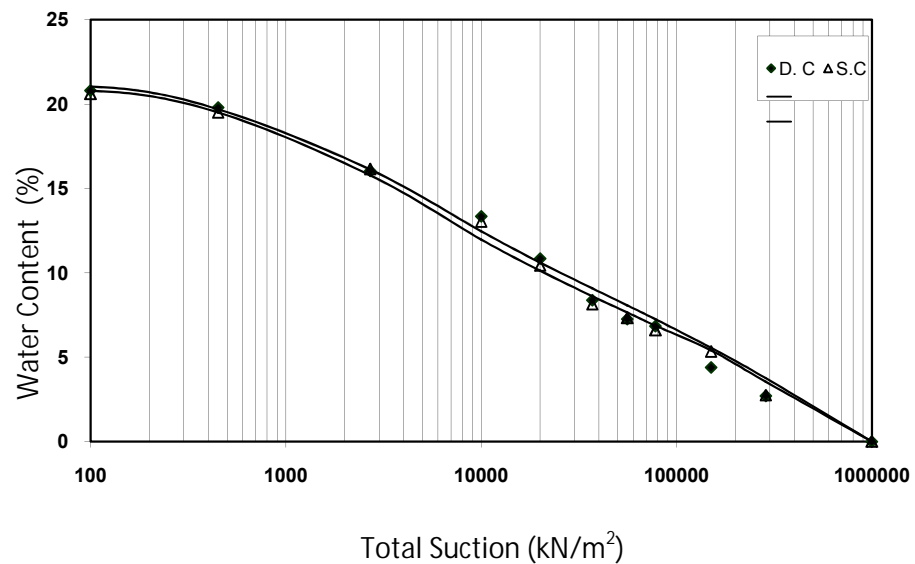
[2] Al-Juari عند دراستها لترفة متداعية خلطت بنساب مختلفة من الترب الطينية. أما فيما يتعلق بتأثير طريقة الرص على قيم اجهادات المص التربة، فقد اجريت مقارنة بين كل من قيم اجهادات المص الكلي والنسيجي للنماذج المسوبوكه بطريقتي الرص الساكن والديناميكي. وجد من هذه الدراسة ان طريقة الرص ليس لها تأثير واضح على قيم كل من المص الكلي والنسيجي وكما مبين في الاشكال (14-C, D). وهذا يعود الى وجود فراغات منتشرة صغيرة الحجم ولكنها غير ، (4) مما ادى الى التقليل من قيم اجهادات المص في الرص الديناميكي وجعلها مساوية تقريبا لاجهادات المص في الرص الساكن.



الشكل (13) تأثير طريقة الرص على التسرب التاكمي للترابة
Water Head (cm)



الشكل (14) تأثير طريقة الرص على اجهاد المص الكلي والنسيجي للترابة



(15) تأثير طريقة ا منحني خاصية التربة-

2-2-5-3 منحي خاصية التربة-الماء: حضرت نماذج التربة عند وحدة الوزن الجاف والمحتوى الرطوبى الامثل باستخدام طريقة الرص الساكن والديناميكى. تركت النماذج لفترة (45) يوماً بطريقة المحلول المشبع (21) بطريقة الغشاء التـ [3]. استخدم برنامج حاسوبى للحصول على ادق تمثيل رياضي لمنحي خاصية التربة- [3]. على معادلات التمثيل الرياضي وهى معادلة كاردنر ومعادلة فانكشن ومعادلة فردلاند واكسينك باستخدام طريقة المربعات الاقل ومعامل الارتباط (R^2). النتائج بينت ان معاـ فردلاند واكسينك كانت افضل المعادلات في دقة تمثيل النتائج العملية. (15) يبين منحي خاصية التربة-الماء للنماذج المسبوكة بطريقى الرص (بمعدل أربعة نماذج لكل قراءة) يلاحظ ان طريقة الرص ليست لها تأثير واضح على طول المدى الواسع من إجهاد المصل (6) يبين المتغيرات (a, n, m) (a, n, m) والنتائج الإحصائية وعوامل قيمة دخول الهواء وعوامل الحالة المتبقية.

3-3 نفاذية التربة: تم قياس معامل النفاذية لنماذج التربة المسبوكة بطريقى الرص باستخدام طريقة الارتفاع المتغير، حيث كان جريان الماء عمودياً على بطريقة (k) نفاذية (k) الرص الديناميكى كما مبين في الجدول (4)، أكدت هذه النتائج مع ما تم التوصل اليه عند حساب معامل النفاذية بشكل غير مباشر من فحص الانضمام عند تطبيق معادلة (Terzaghi) كما مبين في الجدول (5). سبب ذلك يعود الى ان حجم الفراغات في التربة ذات البنية نه في التربة ذات البنية المتوازية على الرغم من المسبوكة بطريقى الرص. هذا ما وضحته صور المجهر الضوئي الشكل (4) [20] [4].

3-6 التحليل الإحصائي (Statistical Analysis): (SPSS 10) لتحليل النتائج العملية، للحصول على نماذج رياضية للاستدلال على كل من مقاومة الانضغاط غير المحصور وقوه القص المباشر ونسبة التحمل الكاليفورنى ونسبة الانتفاخ والانضمام والتسرب التأکلى للنماذج المسبوكة بالرص الديناميكى. تعتمد المعادلات على الخصائص المذكورة للنماذج المسبوكة بالرص الساكن بالإضافة الى دليل لدونة التربة (PI %) (H m) (Gs) (D m) الاولية (kN/m^3) .

و عند استخدام الانحدار اللاخطى (Non Linear Regression) على تلك البيانات وجدت العديد من العلاقات الرياضية، تم التوصل الى افضل العلاقات وكانت بمعامل ارتباط قوي كما مبين في الجدول (6).

(6) تأثير طريقة الرص على عناصر و عوامل تمثيل منحي خاصية التربة-

المتبقيـة		عوامل قيمة دخول الهواء		إحصائية					طريقة
r	r	a	a	R^2	SSR	m	n	a	
3500 0	8.7	520	20.7	0.99 6	2.45 6	0.693	0.95 0	1500	
3000 0	9.5	450	20.8	0.99 4	4.01 4	0.700	0.90 0	1500	الديناميـ

(7) نتائج التحليل الاحصائي لبعض الخصائص الهندسية للترابة المسبوكة بطريقتي

Test	Regression Model	R^2
UCS	$q_{u dy} = 19.2922 (q_{u st.})^{0.907} \times (PI / w_o)^{-1.1275} \times (d / Gs_w)^{-0.8466}$	0.9999
Direct Shear	$dy = st.^{0.948} + (PI / w_o)^{4.898} - (d / Gs_w)^{1.675}$	0.9999
CBR	$CBR_{dy} = 12.0809 (CBR_{st.})^{1.0645} \times (PI / w_o)^{-0.3789} \times (d / Gs_w)^{-1.128}$	0.9984
Swelling	$Swell_{dy} = 0.20539 (swell_{st.})^{0.6905} \times (PI / w_o)^{1.565} \times (d / Gs_w)^{0.552}$	0.9999
Consolidation	$c_c dy = 0.01 (c_{c st.})^{0.714} + (PI / w_o)^{0.259} - (d / Gs_w)^{0.0642}$	0.9842
Pinhole Test	$Q_{dy} = (Q_{st.})^{0.9776} + (H/D)^{-0.108} + (PI / w_o)^{6.745} - (d / Gs_w)^{0.8044}$	0.9940

4 – الاستنتاجات

من خلال هذه الدراسة تم التوصل الى الاستنتاجات التالية:

- 1 زن الجاف للترابة بطريقة الحمل الساكن اكبر منها للرص الديناميكي، بينما وجد
- 2 طريقة الرص الديناميكي تزيد من قوة الانضغاط غير المحمص، معاملات قص الفعالة، قوة الشد غير المباشر، نسبة التحمل الكاليفورني، خصائص الانضمام للترابة من طريقة الرص الساكن.
- 3 طريقة الرص الساكن تجعل التربة ذات نفاذية وخصائص انتفاخية اكبر من طريقة الرص الديناميكي.
- 4 إن الرص الديناميكي يعطي مقاومة اكبر للتأكل الداخلي للترابة من الرص الساكن.
- 5 إن طريقي الرص (الحمل الساكن والديناميكي) ليس لهما تأثير على اجهادات مص التربة.
- 6 تم التوصل إلى أفضل العلاقات الرياضية للخصائص الهندسية للترابة الطينية المسبوكة بطريقتي الرص (الحمل الساكن والديناميكي).

5- المصادر

1. AL-Barwary, M., "Effect of Wetting and Drying Cycles on Swelling Properties of Soil under Different Loading in Summel City" M.Sc. thesis, University of Mosul, Iraq, 2006.

2. Al-Juari, K., "The Effect of Clay Percentage on Volume Change of Collapsible Soil In Mosul City" M.Sc. thesis, University of Mosul, Iraq, 2005.
3. Al-Taie, L., "Correlation between Suction and some engineering properties of lime stabilized clayey Soil from Mosul City" M.Sc. thesis, University of Mosul, Iraq, 2005.
4. Arora, K. R., "Introductory Soil Engineering", Standard publishers Distributors, Delhi, 1988.
5. Attom, M.F., Abu-Zreig, M.M. and Obaidar, M.T. "Changes in Clay Swelling and Shear Strength Properties with Different Sample Preparation Techniques" Geotechnical testing Journal, GTJODJ, Vol. 24, No.2, pp.157-163. 2001.
6. Das, B. M., "Introduction to Soil Mechanics", Iowa state university press, India, 1989.
7. Fatah, A.A., "Study of Earth Dams Failure by Piping" M.Sc. thesis, University of Salahaddin, Iraq, 1990.
8. Khattab, S.A.A., "Eude Multi-echelles d'un Sol Plastique Traitè à la Chaux", Thèse de Doctorat, Université d'Orleans, France. 2002.
9. Lambe, T.W., "Soil Testing for Engineers", Wiley Eastern – Limited, India, 1984.
10. Lambe , T.W. , "The Engineering Behavior of Compacted Clay" Journal , Soil Mechanics and foundation division , American Society of Civil Engineering , Vol. 84 , No. SM2 May, 1958.
11. Lambe T.W., "The structure of compacted clay", Journal, Soil Mechanics and foundation division, American Society of Civil Engineering, Vol. 84, No. SM2 May, 1958.
12. Leong, E.C., He, L. and Rahardjo, H., "Factors Affecting Filter Paper Method for Total and Matric Suction Measurements", Geotechnical Testing Journal, Vol. 25, No. 3, pp. 1-12 , 2002.
13. Mitchel, J.K., "Fundamental of Soil Behavior", John Wiley, New York, 1976.

14. Olsen, E. R. and Mesri, A. M., "Mechanism Controlling Compressibility of Clays", J. S. M. F. Div., Proceeding of The ASCE, Vol.96, No.SM6, 1970.
15. Rahimi, R.; Abbasi, N. And Davarzani, H., "Physical Dispersivity Phenomenon and Its Evaluation Criteria in Cohesion less Soils". 2nd International conference on advances in soft soil engineering and technology, 2-4 July, Putrajaya, Malaysia, 2003.
16. Seed, H. B. and Chan, C. K., " Structure and Strength Characteristics of Compaction Clays", Journal of the Soil Mechanics and Foundation Division, Proceeding of the American Society of Civil Engineers, Vol. 85, No. SM 5, pp. 87- 128, October, 1959.
17. Shaikh, A., Ruff, J.F. and Abt, S.R., "Erosion Rate of compacted NA-Montmorillonite Soils", J, Geotechnical Engineering. IV., Proc. ASCE, Vol. 114, No. 3, March, PP. 296-305. 1988.
18. Sherard, J.L., Decker, R.S. and Ryker, N.L. "Piping in earth dams of dispersive clay", Proc. ASCE, Specialty Conference on the Performance of earth and earth-supported structures, vol.1, june, pp. 589-626. 1972.
19. Sobhan, K. And Mashnad, M., " Mechanical Stabilization of Cemented Soil- Fly Ash Mixtures with Recycled Plastic Strips", Journal of environmental engineering, Vol. 129, No. 10, October 1, 2003.
20. Todd, D.K., " Ground Water Hydrology ", Toppan Company, Ltd., Tokyo, Japan, PP. 94, 1959.

مانارة للمستشارات

www.manaraa.com